



Communication

Propriétés photochromiques à la lumière visible d'un inorganique-organique Film mince hybride acide phosphomolybdique/polythiophène

Wanqing Zhao ¹, Hongmei Zhao ¹, Wei Feng ² et Honggang Zhao 1,*

- ¹ École de chimie et de génie chimique, Université normale du Xinjiang, Urumqi 830054, China Key Lab of
- Groundwater Resources and Environment, Ministère de l'Éducation, Jilin University, Changchun 130021, Chine * Correspondence :

xjnu1609@xjnu.edu.cn

Résumé : Un film hybride photochromique à lumière visible a été synthétisé en combinant l'acide phosphomolybdique (PMoA) avec la matrice polythiophène (PTh). La microstructure et les propriétés photochromiques des matériaux ont été analysées par microscopie à force atomique (AFM), spectroscopie infrarouge à transformée de Fourier (FTIR), spectroscopie photoélectronique à rayons X (XPS) et spectres ultraviolet-visible (UV-vis). Selon les spectres FTIR, les géométries de PMoA et de PTh étaient bien préservées dans le film hybride et il existe une forte interaction à l'interface de PMoA et de PTh. Les spectres XPS ont révélé le changement du microenvironnement chimique et la réduction des atomes Mo6+ dans la réaction de photoréduction. Sous irradiation par la lumière visible, le film composite est passé du transparent au bleu et s'est approfondi progressivement, générant un bleu hétéropoly. Le film hybride présente également une réversibilité en présence d'oxygène. Les résultats ont indiqué que la réaction photochromique était incompatible avec le mécanisme de transfert d'électrons photoinduit.

Mots clés : acide phosphomolybdique; le polythiophène; photochromisme; film hybride



Citation: Zhao, W.; Zhao, H.; Feng, W.; Zhao, H. Propriétés
photochromiques à la lumière visible
d'un film mince hybride acide
phosphomolybdique/polythiophène
inorganique-organique. Chimie 2024, 6,
469-475. https://doi.org/10.3390/
chemistry6030026

Rédacteur académique : Matthias Lehmann

Reçu: 25 avril 2024 Révisé: 1er juin 2024 Accepté: 5 juin 2024 Publié: 7 juin 2024



Copyright: © 2024 par les auteurs. Licencié MDPI, Bâle, Suisse. Cet article est un article en libre accès distribué selon les termes et conditions des Creative Commons Licence d'attribution (CC BY) (https:// creativecommons.org/licenses/by/ 4.0/).

1. Introduction

Les matériaux photochromiques ont été considérés comme un axe de recherche prometteur dans le domaine des matériaux fonctionnels et appliqués dans les domaines des matériaux de stockage optique d'informations, des dispositifs photoélectriques, de la commutation optique et de la recherche biomédicale [1-4]. Ces dernières années, le développement de matériaux composites inorganiques/organiques et l'introduction de la technologie d'auto-assemblage, de la chimie des modèles et d'autres méthodes dans la préparation ont considérablement amélioré les propriétés photochromiques des matériaux, offrant ainsi une direction d'application plus large.

Les hétéropolyoxométalates sont l'un des matériaux photochromiques les plus populaires en raison de leur haute réductibilité d'oxydation, de leur conductivité protonique élevée et de leur excellente solubilité [7,8]. Afin d'augmenter le potentiel d'application des hétéropolyoxométalates, des efforts ont été faits pour les introduire dans des réseaux polymères afin d'améliorer les propriétés physiques des matériaux photochromiques telles que la résistance mécanique, la transparence optique et l'usinabilité [9-11]. Les hétéropolyoxométalates, en tant que porteurs de charge anionique, ont été utilisés dans des films désordonnés tels que des films sol-gel en se liant à des groupes cationiques sur des chaînes de polymères organiques via des interactions faibles telles que la liaison hydrogène, la force électrostatique et la force de Van der Waals. Sun et ses collègues [12] ont synthétisé un film hybride PMoA/ polyvinylpyrrolidone (PVP) et ont découvert que la cause principale de la réaction photochimique était le transfert de protons entre la matrice PMoA et PVPd. L'interaction des polyoxométalates et du polymère via des liaisons non covalentes a offert une approche utile pour améliorer les propriétés physiques et chimiques des matériaux photochromiques inorganiques/organiques.

Le polythiophène (PTh) présente une bonne stabilité photoélectrique, de bonnes propriétés filmogènes, une conductivité élevée et une faible largeur de bande interdite de 2,02 eV, ce qui présente un grand potentiel d'application en chimie photoélectrique. PTh possède un grand système électronique π-conjugué et sa capacité à donner des électrons est meilleure que le polypyrrole et la polyaniline. PTh peut former

Chimie 2024, 6

Le polythiophène (PTh) possède une bonne stabilité photoélectrique, de bonnes propriétés filmogènes, une conductivité élevée et une faible largeur de bande interdite de 2,02 eV, ce qui présente un grand potentiel d'application en chimie photoélectrique. PTh possède un grand système électronique π-conjugué et sa capatôté à donner des électrons est meilleure que le polypyrrole et la polyaniline. La PTh peut former un pont de transfert de charge avec des hétéropolyoxométalates et des hétéropolyoxométalates et un pont de transfert les polyadas grant tre avent de se hétéropolyoxométalates et un pont de transfert les polyadas grant tre avent de se hétéropolyoxométalates et un pont de transfert les polyadas grant tre avent de se hétéropolyoxométalates et un pont de transfert les polyadas grant tre avent de se hétéropolyoxométalates et un pont de transfert les polyadas grant tre avent de se propriétés du PTh, les publishadas grant transfert propriétés du PTh, les publishadas propriétés du PTh, les publishadas propriétés propriétés du PTh, les publishadas propriétés propriétés du PTh, les publishadas propriétés propriétés de propriétés de propriétés de propriétés de propriétés propriétés de propriétés de propriétés propriétés propriétés de propriétés propriétés propriétés de propriétés propriétés propriétés de propriétés propriétés propriétés de propriétés de

2. Matériels et méthodes 2. Matériels et méthodes

2.1. Préparation 2.1. Préparation

L'acide posphomolybdique (H3PMo12040, PMoA) a été réutilisé après une recristallisation secondaire, et les autres produits chimiques ont été utilisés tels quels, sans putification supplémentaire, les ous autres produits chimiques ont été utilisés tels quels, sans putification supplémentais ont appoint été utilisés tels quels, sans putification supplémentais ous appoint été utilisés tels quels, sans putification cupolémentais ous appoint été utilisés tels quels, sans putification supplémentais ous appoint de l'appoint de l'interes ou été utilisés tels quels, sans putification supplémentais ous appoint de l'appoint de l'app

8년 ค.ศ.ค.โ.โ.ที.ฮ.ฮ.ฮ.ฮ.ฮ.ฮ.ฮ.ฮ.ฮ.ฮ.ล.พ.โ.ค.ค.ค.ศ.ฮ.เพื่อเกาะสามารถ เลาะสามารถ เลาะสามารถานาสมารถ เลาะสามารถ เลาะสามารถ

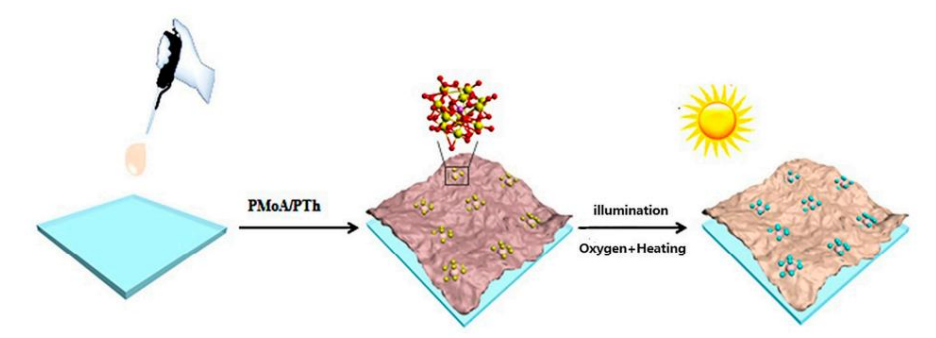


Figure 1. Processus de synthèse et réaction photochromique.

Figure 1 Processus de synthèse et réaction photochromique.

2.2. Ches images AFM des échantillons ont été obtenues sur un microscope à force atomique de 300 HV (Seiko, Tokyo, Japon). Les spectres FTIR ont été déterminés avec un infrarouge à transformée de Fourier Nicolet 550 (Seiko, Spectrometre (Nicolet, Madison, Wit, USA) dans la plage de nombres dronde de 300 HV (Seiko, Spectrometre (Nicolet, Madison, Wit, USA) dans la plage de nombres dronde de 300 HV (Seiko, Spectrometre (Nicolet, Madison, Wit, USA) dans la plage de nombres dronde de 300 HV (Seiko, Spectrometre (Nicolet, Madison, Wit, USA) dans la plage de nombres dronde de 300 HV (Seiko, Spectrometre Nicolet, Seikon, Spectrometre Nicolet, Scholande de 300 HV (Seiko, Spectrometre Nicolet, Seikon, Spectrometre Nicolet, Spectrometre Survival, Nicolet, Spectrometre Survival, Nicolet, Spectrometre Spectromet

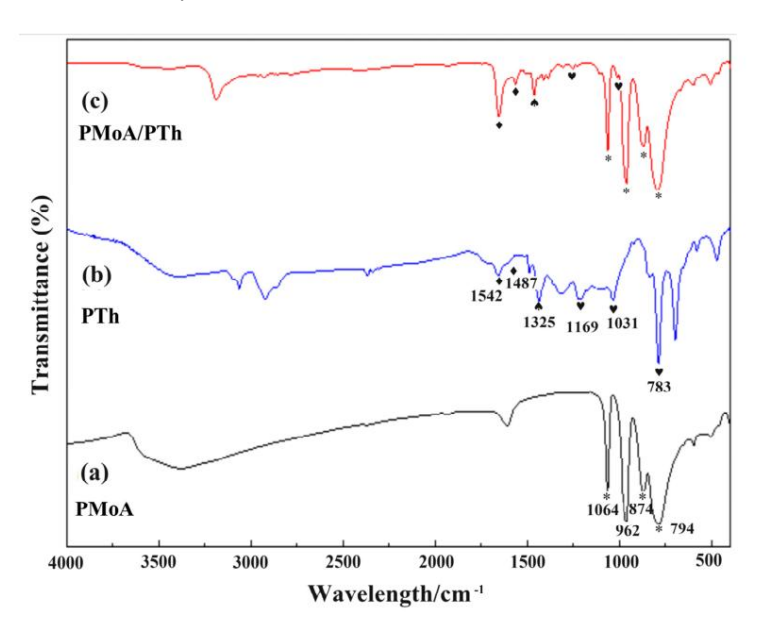
Des expériences photochromiques ont été réalisées à l'aide d'une lampe Xe de 300 W (PLS-SXE, Pékin Perfectlight Technology Co., Ltd., Pékin, Chine) avec un filtre UV (passe au-dessus de 400 nm longueur d'onde) comme source de lumière visible sans aucune autre source de lumière. La distance entre la lampe et le film ont été réglés à 150 mm. Des expériences d'irradiation par la lumière visible ont été réalisée dans l'air pour obtenir une série de courbes d'absorbance sous différentes irradiations

Chimie 2024, 6

Des expériences photochromiques ont été réalisées en utilisant une lampe Xe de 300 W (PLS-SXE, Beijing Perfectlight Technology Co., Ltd., Pékin, Chine) avec un filtre UV (passant au-dessus d'une longueur d'onde de 400 nm) comme source de lumière visible sans aucune autre lumière. sources. La 471 distance entre la lampe et le film a été ajustée à 150 mm. Des expériences d'irradiation par la lumière visible ont été réalisées dans l'air pour obtenir une série de courbes d'absorbance sous différentes durées ud'irradiation. Ensuite, le film composite a été conservé dans l'obscurité pour observer le biocess de planchiment. ransonsalibet/jasspronnanegressponedante artificasasurésponetes les nexaérieages est été réalisées et teffectuá के tempárature ambiante. à

33. PRéssultats

Les spectres FTTPCdesibilis a vortrédes PAMAAP Priet PAMAAPTIN purs dans de gemone de 4000 à Ch-090 son rebreset illustré ra à dea récurre à chears stience d'un oraz à ch-542 que 71 cet-1 487 res pils d'absoration geve décipiteur southemele utilisable de la suite a président de la contra del contra de la contra del la contra netideseilasatioésiquetsensemésiquet d'absorption caractéristique à 1825 cm-1 a été attitué à la vibration d'étirement CS de pianne au RONNIE DE LA VIDE DE L L'absorbtion-le dicallabsorbtion à 783 en colo est attribué à lla vibration de de vion bors plan de Ch est intactentineantstruitandansibelien laysridenat lastructurg camétricus in blacts étaitervée dans le film composite.



Ffigure 22. Spreatness FTIIR du film hydridde PMoA, PTh et PMoA/PTh.

Pans le spectre PM PMP The itre xiste in the treatender due in the 1964 of 1962 of 1964 of 196 CM-1 correspondant aux bandese de vibration de 481, Cam y 649, Orlo 484 molet Mono tomo oc-mo). qui sont similaires à celles de PMoA pur et n'ont que quelques changements décalages. Il démontre que la géométrie Keggin du PMoA est préservée dans le film composite. Le Strate que la geométrie Keggin du PMoA est préservée dans le film composite. La longueur d'onde

Strate que la geometrie Reggin du PMoA est preservee dans le film composite. La longueur d'onde infrarouge infrarouge du PMoA dans le film composite est transformée en raison de l'amélioration. La longueur d'onde du PMoA dans le film composite est transformée en raison de l'amélioration culombienne améliorée entre le PMoA et le substrat polymère, et le transfert de charge se produit, interaction entre le PMoA et le substrat polymère, et le transfert de charge se produit, interaction entre le PMoA et le substrat polymère, et le transfert de charge se produit. Les images AFM (Figure 3) représentent la morphologie de surface du PTh pur et du PMoA/PTh Les images AFM (Figure 3) représentent la morphologie de surface des films hybrides PTh purs et PMoA/PTh avant et après irradiation par la lumière visible. Le film PTh (Figure 3a) montre le films hybrides avant et après irradiation par la lumière visible, Le film PTh (Figure 3a) montre la structure en forme de pic-pic de taille de particule similaire et la rugosite quadratique moyenne (RMS) une structure façonnée de taille de particule similaire et la rugosite quadratique moyenne (RMS) etait de 7 nm. Comme le montre la figure 3b, c, la morphologie du film a evidemment changé après le 7 nm. Comme le montre la figure 3b, c, la morphologie du film a evidemment changé après la combinaison de PTh et de PMoA ; le RMS des films hybrides PMoA/PTh était de 18 nm (par rapport a combinaison de PTh et PMoA): le RMS des films hybrides PMoA/PTh était de 18 nm (contre 7 nm pour le PTh). On peut en déduire que l'interaction des liaisons hydrogene entre PTh

Les chaînes polymères sont perturbées par l'action des particules de PMoA sous l'interaction force des liaisons hydrogène entre les chaînes polymères PMoA et PTh. Après la lumière optique illumination, le RMS des films composites PMoA/PTh est passé de 18 à 31 nm, ce qui a indiqué la formation de bleu hétéropoly dans la réaction de photoréduction et le transfert de protons augmenté l'angle spatial du polymère PTh.

Chimie 2024, 6 472

polymère PTh.

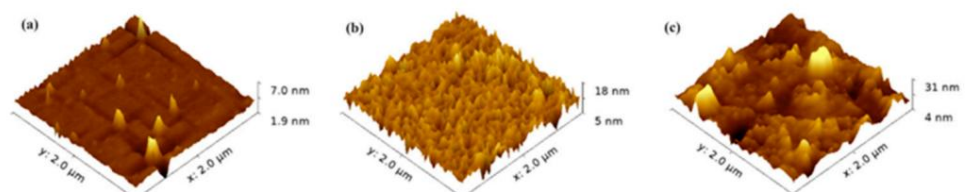


Figure 3. Images AFM de (a) films composites PTh purs et PMoA/PTh (b) avant et (c) après irradiation par la lumière visible avant et (c) après visible irradiation lumineuse.

Les spectres. drabgerphonicule (a) file in idea (a) file

de bleu hétéropoly au cours du processus photochromique, le film hybride est passé du tra-parent au bleu et

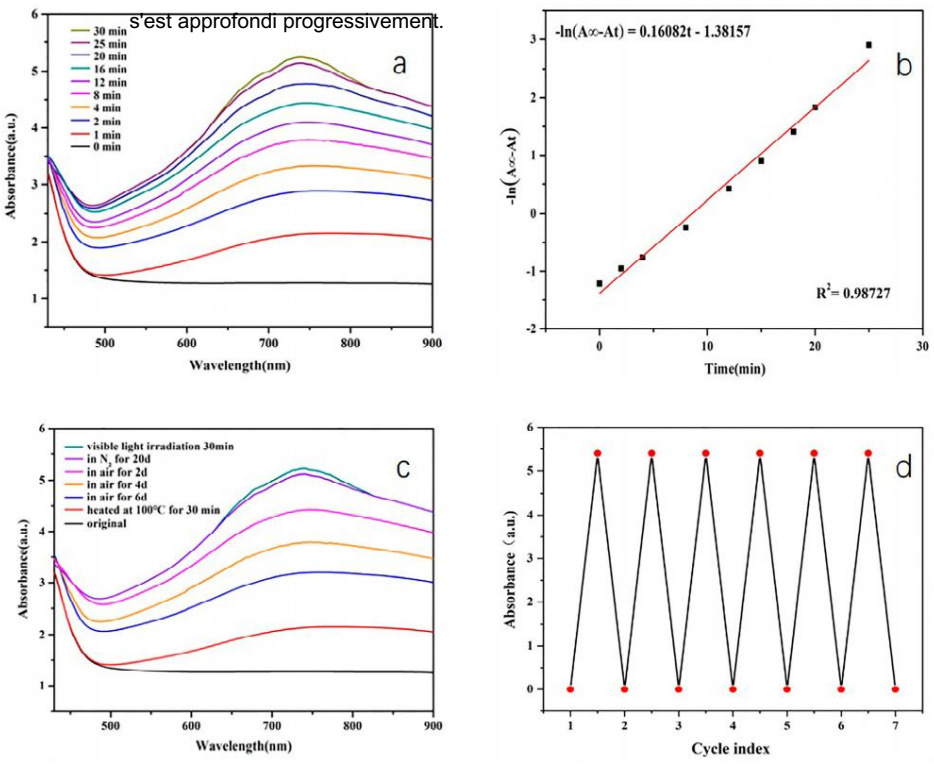


Figure 4. (a) Spectres d'absorption UV-Vis de PMoA/PTh avec un temps d'irradiation varié dans la coloration processus, (b) Tracé cinétique du processus photochromique de premier ordre du film PMoA/PTh, (c) UV-Vis spectres d'absorption de PMoA/PTh dans différentes conditions du processus de décoloration, (d) Le réversibilité du cycle de coloration du film PMoA/PTh.

Le processus cinétique de coloration de PMoA/PTh à 740 nm a été analysé plus en détail (Figure 4b). Il est révélé que le processus photochromique satisfait au premier ordre suivant équation cinétique :

$$-ln(A \infty - At) = kt + b$$

où A^{∞} est la valeur d'absorbance à saturation ; At est la valeur d'absorbance sur différents les temps d'irradiation à travers le processus de coloration ; k est la constante de vitesse. La constante de taux k du processus de coloration est de 0,16 min-1 , indiquant les avantages du film composite dans le réponse photochromique.

Chimie 2024, 6 473

Sur la figure 4c, le processus de décoloration du film hybride PMoA/PTh a été montré. Quand le film hybride PMoA/PTh était placé dans l'air, la couleur s'estomperait progressivement, mais si le film hybride a été placé en atmosphère N2 pendant 20 jours, la couleur du film composite ne s'estomperait pas. Ce phénomène indique que l'oxygène joue un rôle clé dans la promotion de la décoloration du film hybride. Il a également été constaté que le chauffage peut accélérer la décoloration. processus car l'absorbance a été réduite de 80 % lorsque le film a été chauffé à 373 K pendant 30 minutes.

Les expériences de cycle de coloration-décoloration ont été réalisées pour déterminer la réversibilité du film hybride PMoA/PTh. Après irradiation par la lumière visible pour atteindre l' absorbance de saturation, le film pourrait être réutilisé par traitement thermique. Comme le montre la figure 4d, il n'y a eu qu'un léger changement d'absorbance après recyclage 7 fois, démontrant que Le film hybride PMoA/PTh présente des propriétés photochromiques favorables, avec une grande stabilité et une bonne réversibilité du film photochromique [13].

Comme le montre le tableau 1, le film hybride PMoA/PTh présentait une absorbance maximale élevée par rapport aux autres échantillons représentatifs, ce qui indiquait que l' effet de protonation du PMoA vers la PTh dans le film mince hybride PMoA/PTh pourrait augmenter la absorbance maximale et amélioration considérable des propriétés photochromiques du PMoA/PTh film hybride.

Matériau photochromique	L'épaisseur des échantillons L'absorb	Référence	
Film mince hybridant PMoA/PANI	1,8 µm	3,46	[dix]
ZnO/PMoA	-	0,21	[14]
WO3 -x QD	-	2,75	[15]
Hybrides PVP/HTA	-	0,78	[16]
Films à points quantiques CsPbBr3	-	0,78	[17]
Film composite PMoA/ZnO/PVP	-	0,32	[18]
Octamolybdates de sulfonium aromatiques	état solide	3.2	[19]
Film composite PMoA/PTh	2,0 µm	5.27	Ce travail

Tableau 1. Comparaison de l'absorbance maximale des matériaux photochromiques.

Pour analyser plus en détail le changement du microenvironnement chimique dans le processus de photochromisme, spectres XPS de Mo 3d pour le film hybride PMoA/PTh sans et avec L'irradiation est présentée à la figure 5 et au tableau 2. Pour le film hybride PMoA/PTh, le des pics sont apparus à 232,9 eV et 236,0 eV attribués respectivement à 3d3/2 et 3d5/2 de Mo6+, et les pics situés à 235,5 eV et 231,8 eV ont été attribués à 3d3/2 et 3d5/2 de Mo5+, respectivement. L'apparition des pics caractéristiques de Mo5+ ici peut être déduite comme Excitation aux rayons X. Après irradiation, les pics de Mo6+ se déplacent vers 233,0 eV et 236,2 eV, et les pics de Mo5+ apparaissent à 231,7 eV et 235,0 eV. Par rapport au spectre d'avant irradiation, l'énergie de liaison du 3d du Mo6+ augmente, et la proportion de Mo5+ également augmente de 0,09 à 0,33, ce qui est attribué à la conversion du Mo6+ en Mo5+. Ça peut être a conclu que le microenvironnement chimique des atomes de Mo a été modifié en raison de la réaction de photoréduction.

Tableau 2. Énergies de liaison du niveau d'énergie Mo3d et des rapports Mo5+/Mo du film hybride PMoA/PTh avant et après l'éclairage.

Échantillon	Mo5+		Mo6+		Ratios Mo5+/Mo
	3d3/2	3d5/2	3d3/2	3d5/2	rance mee /me
Avant	231,8	235,5	232,9	236,0	0,09
Après	231,7	235,0	233,0	236.2	0,33

Chimie 2024, 6 réaction

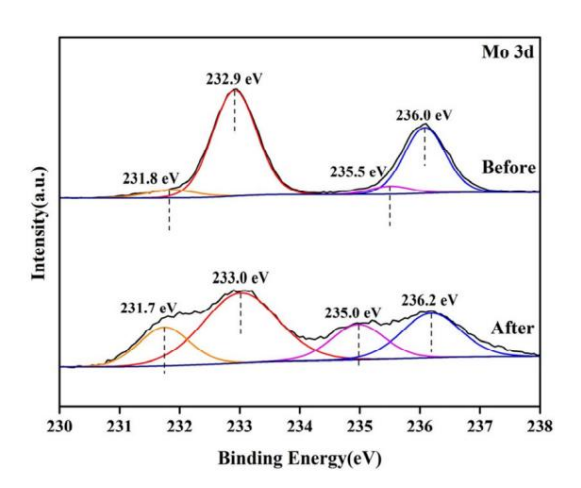


Figure 5. Spectres XPS Mo 3d pour film hybride PMoA/PTh sans et avec irradiation. Figure 5. Spectres XPS Mo 3d pour film hybride PMoA/PTh sans et avec irradiation.

Pour expliquer le comportement photochromique ci-dessus, le mécanisme du film hybride a été Tableau 2. Énergies de liaison du niveau d'énergie Mo3d et des rapports Mo5+/Mo du film hybride PMoAPTh avant et après illenque êté. Les propriétés photochromiques des films hybrides inorganiques/organiques dans ce

Le papier dépend principalement des interactions entre les composants inorganiques et organiques. Le

Les Mo6+ Mo5+/Mo ions métalliques Mo5+ dans les polyoxométalates oxydés ont des configurations électroniques d0 ; donc, 3d3/2 3d5/2 3d3/2 3d5/2 Rapports

Échantillonnez les électrons de faible énergie des orbitales de l'oxygène 2p qui ont été excités vers un état de métal à haute énergie Avant 231.8 235.5 232.9 236.0 0,09 0,09 les orbitales d lors de l'irradiation, qui est ce que l'on appelle le ligand oxygène-métal (OM)

Après 233.0.0.33 231.7 235.0 235.0 236.2 236.2

Après 233,0 0,33 231,7 transfert de charges (LMCT). Ainsi, les charges d'électrons et de trous ont été séparées, fournissant ainsi une condition pour une coloration stable du film composite. Le trou laissé au niveau de l'atome d'oxygène

Pountaniageal serves selections from limital samuations are uniformly and the confidence of the confid

enquêté. Leakonneiétéstehédolitaniquonlesmilos-hylgieheriantaeisunelosanieweropole.couand le blanchiment

d orbitales lors de l'irradiation, qui est ce qu'on appelle le ligand oxygène métal (O-M) sur métal sur la figure 6. En raison de la protonation, la densite électronique du PMoA a diminué au cours de la

transfert de charges (LMCT). Ainsi, les charges d'électrons et de trous ont été séparées, fournissant ainsi un 7
Chimie 2024, 6, POUR EXAMEN PAR LES PAIRS interaction avec PTh. provoquant ainsi le redshift spectral "gui a vérifié l'existence de condition pour une coloration d'interface entre PMOA et PTh. Après exposition à la lumière, l'hétéropolyacide est interagi avec des électrons non liants sur l'atome de soufre de PTh. Dans ce processus, le Mo6+

L'atome a réduit au bleu hétéropoly et les protons sont transférés au PMOA

processus s'est produit, un électron a été transféré de l' atome Mo5+ à la molécule d'oxygène sans

der conditions aérobies de sorte que les polyoxométalates soient oxydés. Mo(VI)

Le schéma du mécanisme photochromique du film hybride PMoA/PTh est présenté dans Figure 6. En raison de la protonation, la densité électronique du PMoA a diminué au cours de l'interaction.

tion avec PTh, provoquant ainsi le redshift spectral, qui a vérifié l'existence de l'interface interaction entre PMoA et PTh. Après exposition à la lumière, l'hétéropolyacide est réduit

au bleu hétéropoly et les protons sont transférés au PMoA.

(b)

FEIGHTS G. L. B. SREMÉNTAL CHARCEÁGAINE TO BROCK POR THE THE REPORT OF THE PROPERTY OF THE THE PROPERTY OF THE aparèpinotonationina con material batteria de la Alla Control (Alla Control de la cont

4. Conclusions

Les matériaux photochromiques PMoA/PTh ont été préparés en laissant tomber l'hybride Les matériaux photochromiques PMoA/PTh ont été préparés en laissant tomber la solution hybride sur le substrat pour former un film. Les géométries de PMoA et PTh étaient bien solution sur le substrat pour former un film. Les géométries de PMoA et PTh étaient bien préservées dans le film hybride selon les spectres FTIR. Lors de l'irradiation, les protons dans servi en film hybride selon les spectres FTIR. Lors de l'irradiation, les protons du ou des polymères organiques sont excités et transferes au PMoA via un pont de transfert de charge. Les polymères organiques sont excités et transférés au PMpA via un pont de transfert de charges. Le bleu nétre polymère à été génére lors d'une réaction de photoréduction accompagnée d'un chargement de Le poly bleu à été généré lors d'une réaction de photoréduction accompagnée d'un chargement de Le poly bleu à été généré lors d'une réaction de photoréduction accompagnée d'un chargement de microenvironnement chimique. Le processus de blanchiment s'est produit lorsque les atomes de Mo5+ étaient oxydés. microenvironnement chimique. Le processus de blanchiment s'est produit lorsque les atomes de Mo5+ ont été oxydes en atomes de Mo6+ en présence d'oxygene. De plus, le film hybride présentait des avantages aux atomes Mo6+ en présence d'oxygène. De plus, le film hybride présentait une réversibilité et une stabilité favorables. Le processus de protonation entre PMoA et la matrice PTh a été considéré comme la cause majeure de la réaction photochimique.

Contributions d'auteur:. WZ a contribué à l'organisation globale de toutes les expériences et à la rédaction du projet original. HZ (Hongmei Zhao) a contribué aux expériences sur les propriétés photochromiques,

474

Chimie 2024, 6 475

réversibilité et stabilité. Le processus de protonation entre PMoA et la matrice PTh a été considéré comme la cause majeure de la réaction photochimique.

Contributions de l'auteur : WZ a contribué à l'organisation globale de toutes les expériences et à la rédaction du projet original. HZ (Hongmei Zhao) a contribué aux expériences sur les propriétés photochromiques, à l'analyse et à la visualisation des données. WF a contribué à la préparation et à la caractérisation des échantillons. HZ (Honggang Zhao) a contribué à fournir des idées pour toutes les expériences, la méthodologie et la supervision. Tous les auteurs ont lu et accepté la version publiée du manuscrit.

Financement : Cette recherche n'a reçu aucun financement externe.

Déclaration de disponibilité des données : les données sont contenues dans l'article.

Conflits d'intérêts : Les auteurs ne déclarent aucun conflit d'intérêts.

Les références

- 1. Qin, B.; Chen, HY; Liang, H.; Fu, L.; Liu, X.; Qiu, X.; Liu, S.; Chanson, R.; Tang, Z. Fluorescence photocommutable réversible dans des films minces d'assemblages de nanoparticules inorganiques et de polyoxométalate. Confiture. Chimique. Soc. 2010, 132, 2886-2888. [Référence croisée] [Pub Med]
- 2. Gu, HX; Bi, LH; Fu, Y.; Wang, N.; Liu, S.; Tang, Z. Commutation de photoluminescence à commande électrique multi-états. Chimique. Sci. 2013, 4, 4371-4377. [Référence croisée]
- 3. Lu, J.; Zhang, X.; Carte.; Singh, V.; Zhang, C.; Niu, J.; Wang, J. Comportement photochromique d'un nouveau polyoxomolybdate/alkylamine composite à l'état solide. J. Mater. Sci. 2018, 53, 3078-3086. [Référence croisée]
- 4. Graça, VC; Sousa, CM; Coelho, P. Vers une coloration grise des matériaux photochromiques utilisant des vinylidène-naphtofuranes. Colorant. Pigment. 2020, 176. [Réf. croisée]
- 5. Bao, HF; Wang, XY; Yang, GQ; Li, H.; Zhang, F.; Feng, W. Photochromisme à la lumière UV et à la lumière visible des éléments inorganiques-organiques films multicouches à base de polyoxométalate et de poly(acrylamide). Polymère colloïdal. Sci. 2014, 292, 2883-2889. [Référence croisée]
- 6. Jing, SUP; Zou, DL; Meng, QQ; Zhang, W.; Zhang, F.; Feng, W.; Han, X. Fabrication et photochromisme en lumière visible d'un nouveau film hybride inorganique-organique à base de polyoxométalates et d'éthylcellulose. Inorg. Chimique. Commun. 2014, 46, 149-154. [Référence croisée]
- 7. Zhang, J.; Zou, Q.; Tian, H. Matériaux photochromiques: plus que ce que l'on voit. Av. Maître. 2013, 25, 378-399. [Référence croisée] [Pub Med] 8. Toshihiro, Y. Photo- et électrochromisme des polyoxométalates et matériaux associés. Chimique. Rév.1998, 98, 307-326.
- 9. Chen, J.; MeiAi, L.; Feng, W.; Xiong, DQ; Liu, Y.; Cai, WM Préparation et photochromisme de couches minces nanocomposites à base sur polyoxométalate et polyéthylèneglycol. Maître. Lett. 2007, 61, 5247-5249. [Référence croisée]
- 10. Zeng, Oregon; Guo, SY; Soleil, YB; Li, Z.; Feng, W. Propriétés photochromiques de lumière optique améliorées induites par la protonation d'un film mince hybride acide phosphomolybdique/polyaniline inorganique-organique. Nanomatériaux 2020, 10, 1839. [CrossRef] [Pub Med]
- 11. Lu, C.; Soleil, Y.; Liu, JL; Wang, X.; Liu, SL; Feng, W. Photochromisme amélioré du composite hétéropolyacide/polyvinylpyrolidone film par dopage TiO2. J.Appl. Polyme. Sci. 2015, 132, 41583. [Réf. croisée]
- 12. Soleil, Y.; Wang, X.; Lu, Y.; Xuan, L.; Xia, S.; Feng, W.; Han, X. Préparation et photochromisme en lumière visible du phosphomolybdique film hybride acide/polyvinylpyrrolidone. Chimique. Rés. Menton. Univ. 2014, 30, 703-708. [Référence croisée]
- 13. Wei, Y.; Han, B.; Dong, Z.; Feng, W. Réseaux de nanotubes TiO2 hautement organisés modifiés par l'acide phosphomolybdique avec des performances photochromiques rapides. J. Mater. Sci. Technologie. 2019, 35, 1951-1958. [Référence croisée]
- 14. Yue, T.; Han, B.; Wang, X.; Caution.; Feng, W. Performance photochromique instantanée à la lumière visible des poudres composites à base sur les nanotubes PMoA et ZnO. Chimique. Lett. 2019, 48, 851-854. [Référence croisée]
- 15. Liu Qi Hu Ch Wang, X. Synthèse hydrothermale de points quantiques d'oxyde de tungstène déficients en oxygène avec une excellente photochromie réversibilité. Appl. Le surf. Sci. 2019, 480, 404-409.
- 16. Li, D.; Wei, J.; Dong, S.; Li, H.; Xia, Y.; Jiao, X.; Wang, T.; Chen, D. Nouveaux hybrides PVP/HTA pour papier réinscriptible multifonctionnel.

 Application ACS. Maître. Interfaces 2018, 10, 1701-1706. [Référence croisée] [Pub Med]
- 17. Qaïd, SM; Alharbi, FH; Bedja, I.; Nazeeruddin, MK; Aldwayyan, AS réduisant le seuil d'émission spontanée amplifiée dans les films à points quantiques CsPbBr3 en contrôlant la couche compacte de TiO2. Nanomatériaux 2020, 10, 1605. [CrossRef] [Pub Med]
- 18. Chanson, T.; Li, J.; Deng, Q.; Gao, Y. Préparation, caractérisation, propriétés photochromiques et mécanisme du film composite PMoA/ZnO/PVP. Molécules 2023, 28, 7605. [CrossRef] [Pub Med]
- 19. Kumar, A.; Gupta, AK; Devi, M.; Gonsalves, KE; Pradeep, CP Engineering Multifonctionnalité des polyoxométalates hybrides : octamolybdates de sulfonium aromatiques comme excellents matériaux photochromiques et catalyseurs auto-séparables pour l'époxydation. Inorg.

 Chimique. 2017, 56, 10325-10336. [Référence croisée] [Pub Med]

Avis de non-responsabilité/Note de l'éditeur : Les déclarations, opinions et données contenues dans toutes les publications sont uniquement celles du ou des auteurs et contributeurs individuels et non de MDPI et/ou du ou des éditeurs. MDPI et/ou le(s) éditeur(s) déclinent toute responsabilité pour tout préjudice corporel ou matériel résultant des idées, méthodes, instructions ou produits mentionnés dans le contenu.